

Исследование выполнено при частичной поддержке грантом RPL-273 US CRDF for Independent States of FSU. Настоящая работа также поддержана грантами INTAS 95-I/RU-675 и Российского фонда фундаментальных исследований 95-02-05883.

Список литературы

1. Skyrme T U R *Proc. R. Soc. A* **247** 260 (1958)
2. Белавин А А, Поляков А М *Письма в ЖЭТФ* **22** 245 (1975)
3. Sondhi S et al. *Phys. Rev. B* **47** 16418 (1993)
4. Fertig H et al. *Phys. Rev. B* **50** 11018 (1994)
5. Moon K et al. *Phys. Rev. B* **51** 5138 (1995)
6. Bychkov Yu, Maniv T, Vagnier I *Phys. Rev. B* **53** 10148 (1995)
7. Apel W, Bychkov Yu *Phys. Rev. Lett.* **78** 2188 (1997)
8. Иорданский С, Плясунов С *Письма в ЖЭТФ* **65** 248 (1997)
9. Иорданский С *Письма в ЖЭТФ* **66** 178 (1997)
10. Иорданский С, Плясунов С *ЖЭТФ* **112** 1899 (1997); cond-mat/9706236
11. Wilczek F, Zee A *Phys. Rev. Lett.* **51** 2250 (1983)
12. Volovik G, Yakovenko V *J. Phys. Cond. Matter* **1** 5263 (1989)
13. Volovik G, Yakovenko V, cond-mat/973228

Микроскопический вывод эффективного лагранжиана для скирмионов в двумерном газе взаимодействующих электронов при малом g -факторе

В. Апель, Ю.А. Бычков

1. Введение

Электронные системы, ограниченные в двух измерениях и находящиеся в сильных магнитных полях, продолжают интенсивно исследоваться как экспериментально, так и теоретически [1]. Из-за магнитного поля электронные энергии отдельных частиц образуют вырожденные уровни Ландау, и электрон-электронные взаимодействия являются критическими для физических свойств. В последнее время большое внимание привлекает спиновая степень свободы. В течение долгого времени было принято считать, что основными возбуждениями являются возбуждения типа частица-дырка (спин-экситон), когда циклотронная энергия намного больше, чем характерная кулоновская энергия [2–5]. Однако последние эксперименты, проведенные при факторе заполнения близком или равном единице, когда полностью заполнен один из спиново-расщепленных подуровней Ландау, поменяли это представление. Энергия активации сопротивления, измеренного под давлением [6], спиновая поляризация, измеренная с помощью спектрометрии магнитного поглощения [7], транспортные эксперименты в наклонных магнитных полях [8], и измерения сдвига Найта с помощью оптически накачиваемого ЯМР [9] служат доказательством того, что существует новый тип основных возбуждений — скирмионы. Теоретически возбуждения такого рода были изучены ранее при исследовании двумерных изотропных ферромагнетиков [10]. Только недавно было показано, что в системе взаимодействующих электронов в магнитном поле также существуют скирмионы при условии, что g -фактор меньше некоторой критической величины [11]. Энергия необходимая для создания пары скирмion-антискирмion при $g \rightarrow 0$ равна только половине энергии создания синглетного спин-экситона с очень большим импульсом. Заряд скирмиона равен заряду электрона e . Число перевернутых электронных спинов, содержащихся в скирмione, было вычислено в приближении Хартри–Фока (ХФ) [12]; это число зависит от g -фактора и больше единицы. Совсем недавно квантовая природа скирмиона — его спин — была рассмотрена с помощью микроскопической теории [13] путем обобщения метода, использованного ранее [14] для вывода гамильтоновой части эффективного лагранжиана.

Данная статья организована следующим образом. В разделе 2 мы введем модель и свои обозначения, а также приведем основные результаты вывода эффективного лагранжиана, который уже был частично описан в предыдущей работе [14, 13]. Разделы 3 и 4 посвящены краткому обсуждению уравнений движения и тензора энергии-импульса. В разделе 5 мы получим критерий применимости ХФ-приближения.

2. Эффективный лагранжиан

Исследуем взаимодействующие 2D-электроны, движущиеся в сильном магнитном поле. Орбитальные состояния этих электронов ограничены самым нижним уровнем Ландау, мы будем работать в калибровке Ландау. Пусть \hat{a}_p^\dagger (\hat{b}_p^\dagger) — оператор рождения состояния отдельной частицы с квантовым числом p и спиновой проекцией, параллельной (антипараллельной) магнитному полю. Тогда гамильтониан имеет вид

$$\hat{H} = \frac{1}{2} \sum_{\mathbf{q}, p_1, p_2} \tilde{V}(q) \exp[iq_x(p'_2 - p_1)] \times \\ \times [\hat{a}_{p_1}^\dagger \hat{a}_{p_2}^\dagger \hat{a}_{p_2} \hat{a}_{p_1} + (\hat{a} \rightarrow \hat{b}) + 2\hat{a}_{p_1}^\dagger \hat{b}_{p_2}^\dagger \hat{b}_{p_2} \hat{a}_{p_1}]. \quad (1)$$

Здесь $\tilde{V}(q) = \exp(-q^2/2)V(q)$, где $V(q)$ — взаимодействие электронов; $p'_{1,2} = p_{1,2} \mp q_y$. Магнитная длина l_H используется как единица измерения длины, величина \hbar полагается равной 1. К (1) можно легко добавить член, связанный с эффектом Зеемана, здесь мы его опустили для краткости.

2.1. Приближение Хартри–Фока

В приближении Хартри–Фока основное состояние определяется детерминантом Слэттера для одночастичных состояний $|\Psi_{HF}\rangle = P_p \hat{A}_p^\dagger |0\rangle$. Операторы рождения состояний в нижней (верхней) зоне ХФ \hat{A}_p^\dagger (\hat{B}_p^\dagger) определяются через операторы рождения начальных электронных состояний

$$\hat{A}_p = \sum_{p_1} (U_{p,p_1} \hat{a}_{p_1} + V_{p,p_1} \hat{b}_{p_1}), \\ \hat{B}_p = \sum_{p_1} (W_{p,p_1} \hat{a}_{p_1} + X_{p,p_1} \hat{b}_{p_1}), \quad (2)$$

где матрицы

$$\hat{U} = \exp(\frac{i\hat{\psi}}{2}) \cos \frac{\hat{\theta}}{2} \exp(\frac{i\hat{\phi}}{2}), \quad \hat{V} = \exp(\frac{i\hat{\psi}}{2}) \sin \frac{\hat{\theta}}{2} \exp(-\frac{i\hat{\phi}}{2}), \\ \hat{W} = -\exp(-\frac{i\hat{\psi}}{2}) \sin \frac{\hat{\theta}}{2} \exp(\frac{i\hat{\phi}}{2}), \quad \hat{X} = \exp(-\frac{i\hat{\psi}}{2}) \cos \frac{\hat{\theta}}{2} \exp(-\frac{i\hat{\phi}}{2}) \quad (3)$$

параметризованы эрмитовыми матрицами $\hat{\psi}$, $\hat{\theta}$ и $\hat{\phi}$. Определим элементы последних как матричные элементы угловых функций $\psi(\mathbf{r})$, $\theta(\mathbf{r})$, и $\phi(\mathbf{r})$, записанных для состояний на самом нижнем уровне Ландау. Таким образом, любое ХФ-состояние задается выбором этих трех углов Эйлера.

Теперь мы ограничимся только состояниями ХФ, слабо изменяющимися в пространстве. Тогда мы можем выразить исследуемые физические величины через градиентное разложение. Сначала рассмотрим градиентное разложение для ожидаемых величин плотности состояний ХФ $N(\mathbf{r})$ и спиновой плотности $\mathbf{S}(\mathbf{r})$. Начиная с обычного определения (см. [14]), выразим эти величины через \hat{U} и \hat{V} , т.е. через $\hat{\psi}$, $\hat{\theta}$ и $\hat{\phi}$. Представляя эти матрицы как функции $\psi(\mathbf{r})$, $\theta(\mathbf{r})$ и $\phi(\mathbf{r})$ и повторно используя закон сложения (уравнение (20) в [14]), мы получим окончательно следующий результат:

$$\begin{aligned} N(\mathbf{r}) &= \frac{1}{2\pi} + \delta N(\mathbf{r}) + O(\nabla^6), \\ \delta N(\mathbf{r}) &= \frac{1}{4\pi} \mathbf{n}(\mathbf{r}) \cdot \partial_x \mathbf{n}(\mathbf{r}) \times \partial_y \mathbf{n}(\mathbf{r}) \end{aligned} \quad (4)$$

и

$$\mathbf{S}(\mathbf{r}) = \frac{1}{4\pi} \mathbf{n}(\mathbf{r}) + O(\nabla^4). \quad (5)$$

Таким образом, плотность и спиновая плотность определяются через единичный вектор \mathbf{n} ,

$$\mathbf{n} \equiv (\sin \bar{\theta} \cos \bar{\phi}, \sin \bar{\theta} \sin \bar{\phi}, \cos \bar{\theta}). \quad (6)$$

Здесь черточки сверху означают усреднение по площади одного кванта потока, т.е., возвращаясь к физическим переменным,

$$\bar{\theta}(\mathbf{r}) = \int \frac{d^2 h}{\pi l_H^2} \exp\left(-\frac{h^2}{l_H^2}\right) \theta(\mathbf{r} + \mathbf{h}). \quad (7)$$

Здесь магнитная длина возникает, естественно, как нижняя граница обрезания для длины волны пространственных изменений плотности состояний и спиновой плотности. Выразив все величины через средние углы Эйлера, мы существенно упрощаем градиентное разложение, так как исчезают следующие поправки ($O(\nabla^4)$ в (4) и $O(\nabla^2)$ в (5)).

Теперь мы можем вывести эффективный лагранжиан \mathcal{L} . Рассмотрим ХФ-состояние, зависящее от времени и параметризованное с помощью функций ψ , θ и ϕ , также зависящих от времени. Тогда \mathcal{L} включает кинетическую и гамильтонову части: $\mathcal{L} = \mathcal{L}_k - \mathcal{L}_H$.

2.2. Гамильтонова часть \mathcal{L}_H

эффективного лагранжиана

Сначала обсудим гамильтонову часть

$$\mathcal{L}_H = \langle \Psi_{HF} | \hat{H} | \Psi_{HF} \rangle. \quad (8)$$

Так как мы хотим исследовать взаимодействие скирмионов, нам необходимо продолжить градиентное разложение вплоть до членов четвертого порядка. При этом надо ввести плотность состояний и спиновую плотность в ХФ-приближение для \hat{H} (уравнение (7) из [13]). Это достаточно утомительное занятие (даже с упрощениями,

представленными в уравнениях (4), (5), где пренебрегается неглавными членами), так как требует учета членов до четвертого порядка в спиновой плотности. Собирая все члены вплоть до четвертого порядка в производных по пространственной переменной, окончательно получим результат, который является неожиданно простым:

$$\begin{aligned} \mathcal{L}_H &= \frac{E(0)}{8\pi} \int d^2 r \left\{ \frac{1}{4} \sum_{z=x,y} (\partial_z \mathbf{n})^2 - \mathbf{n} \cdot \partial_x \mathbf{n} \times \partial_y \mathbf{n} \right\} - \\ &- \frac{3E(0)}{2^9 \pi} \int d^2 r (\Delta \mathbf{n})^2 + \frac{1}{2} \sum_{\mathbf{q}} \tilde{V}(q) |\delta N(\mathbf{q})|^2. \end{aligned} \quad (9)$$

Здесь $E(0)$ определяется из

$$E(\mathbf{r}) = \int \frac{d^2 q}{(2\pi)^2} \exp(i\mathbf{q} \cdot \mathbf{r}) \tilde{V}(q), \quad (10)$$

$\delta N(\mathbf{q})$ — фурье-преобразование от $\delta N(\mathbf{r})$. Это выражение для \mathcal{L}_H является правильным вплоть до членов четвертого порядка в производных по пространственной переменной.

Мы опустили член четвертого порядка, который является полной производной. Теперь мы покажем, что эта полная производная дает нулевой вклад в \mathcal{L}_H для любого рассматриваемого решения уравнений движения (с фиксированным значением заряда $Q = \int d^2 r \delta N(\mathbf{r})$). В этом случае рассматриваемый член может быть выражен через плотность δN как

$$\int d^2 r \Delta \delta N(\mathbf{r}) \rightarrow 0. \quad (11)$$

Эта полная производная не дает вклада в эффективный лагранжиан, так как δN не является сингулярной. Мы проверили в явном виде случай решения с $Q = 1$ с конечной константой зеемановского расщепления в гамильтониане и также нашли, что этот член с полной производной не дает вклада.

Различные части \mathcal{L}_H обсуждались в [14, 13]. Здесь мы бы хотели сконцентрировать внимание на члене четвертого порядка по пространственным градиентам в соотношении (9),

$$\int d^2 r (\Delta \mathbf{n})^2. \quad (12)$$

Этот член приводит к дополнительному взаимодействию между скирмионами, возникающими как решения уравнений движения (см. ниже). Мы будем рассматривать (12) по теории возмущений. Рассмотрим невозмущенное решение, которое описывает два скирмиона на расстоянии ρ . Затем оценим (12) и получим следующую дополнительную энергию взаимодействия двух скирмионов:

$$V_{Sk-Sk} = \text{const} - \frac{E(0)}{2} \rho^{-2} + O(\rho^{-4}). \quad (13)$$

Это взаимодействие обратно пропорционально квадрату расстояния между скирмионами. Следовательно, им можно пренебречь по сравнению с кулоновской энергией при отсутствии экранировки, но оно может быть важно для более реалистичного экранированного кулоновского взаимодействия.

2.3. Кинетическая часть \mathcal{L}_k эффективного лагранжиана

Вернемся к вычислению кинетической части \mathcal{L}_k ,

$$\mathcal{L}_k = \langle \Psi_{HF} | i\partial_t | \Psi_{HF} \rangle. \quad (14)$$

Начиная с этого выражения, проведем градиентное разложение до членов второго порядка включительно по пространственным градиентам. Опять с использованием закона сложения (уравнение (20) в [14]) расчет становится достаточно простым, имеется только одна техническая тонкость. Как указано в [13], следует тщательно избегать изменения порядка суммирования по собственным состояниям (индексам матриц), так как эти суммы не сходятся абсолютно. Проделав все, как описано в [13], получим следующий результат:

$$\begin{aligned} \mathcal{L}_k = & \frac{1}{4\pi} \int d^2r [\partial_t \bar{\psi}(\mathbf{r}, t) + \cos \bar{\theta}(\mathbf{r}, t) \partial_t \bar{\phi}(\mathbf{r}, t)] - \\ & - \frac{1}{16\pi} \int d^2r \left\{ \frac{\partial(\bar{\psi}, \cos \bar{\theta}, \bar{\phi})}{\partial(t, x, y)} - \partial_t \left[\cos \bar{\theta} \frac{\partial(\bar{\phi}, \bar{\psi})}{\partial(x, y)} \right] \right\}. \end{aligned} \quad (15)$$

Отметим, что, в то время как гамильтонова часть эффективного лагранжиана определяется единичным вектором \mathbf{n} , все углы Эйлера ψ, θ и ϕ входят в кинетическую часть этого лагранжиана.

Выражение (15) для \mathcal{L}_k верно с точностью до членов первого порядка для производных по времени и членов второго порядка для производных по пространству. При выводе мы опустили член

$$i\partial_t \int d^2r \delta N(\mathbf{r}) \rightarrow 0. \quad (16)$$

Он не дает вклада в эффективный лагранжиан, так как является производной от топологического заряда Q . Член $\cos \bar{\theta}(\mathbf{r}, t) \partial_t \bar{\phi}(\mathbf{r}, t)$ в \mathcal{L}_k определяет динамику поля \mathbf{n} (см. ниже). Возникновение хопфовского члена (первый член во второй строчке в выражении для \mathcal{L}_k) тщательно обсуждалось в [13]. Префактор $\Theta = \pi$ в члене Хопфа определяет спин скирмиона. Следуя аргументам из работы [15], мы получили, что спин скирмиона равен $1/2$.

3. Уравнения движения

Обсудим уравнения движения для спиновой плотности $\mathbf{n}(\mathbf{r}, t)$, следующие из эффективного лагранжиана $\mathcal{L} = \mathcal{L}_k - \mathcal{L}_H$ (ср. уравнения (15) и (9)):

$$\begin{aligned} \partial_t \mathbf{n} = & \mathbf{n} \times \frac{1}{4} E(0) \left(\Delta \mathbf{n} + \frac{3}{16} \Delta \Delta \mathbf{n} \right) - \\ & - (\partial_x \mathbf{n} \partial_y - \partial_y \mathbf{n} \partial_x) \int d^2r' E(\mathbf{r} - \mathbf{r}') \delta N(\mathbf{r}', t). \end{aligned} \quad (17)$$

Здесь мы опустили аргументы \mathbf{r} и t поля \mathbf{n} . Динамика единичного вектора \mathbf{n} определяется членом $\cos \bar{\theta} \partial_t \bar{\phi}$ в \mathcal{L}_k . Все другие вклады от \mathcal{L}_k являются либо полными производными по времени, либо топологическими характеристиками, как член Хопфа, и не дают вклада в уравнения движения. Как хорошо известно, заряд Q сохраняется, так как он является топологическим инвариантом, описывающим отображение $S_2 \rightarrow S_2$. Следовательно, член пропорциональный Q в \mathcal{L}_H (второй член в первой строчке) также не дает вклада в уравнения

движения. Более того, полученные решения могут быть классифицированы по величине Q .

3.1. Статические решения

Эффективный лагранжиан описывает как спин-экситоны, так и скирмионы (спин-текстуры). Спин-экситоны являются малоугловыми флуктуациями поля $\mathbf{n}(\mathbf{r})$ около состояния $\mathbf{n}(\mathbf{r}) = \text{const}$, и для них $Q = 0$. Скирмионы, с другой стороны, являются решениями уравнений движения с сильной угловой зависимостью (для очень малого g -фактора) и с ненулевой величиной топологического заряда Q . На рисунке 1, например, показано, как поворачивается спин при прохождении через центр такого скирмиона ($Q = 1$). Такие скирмионные решения хорошо изучены в литературе (см. [10, 16, 11]).

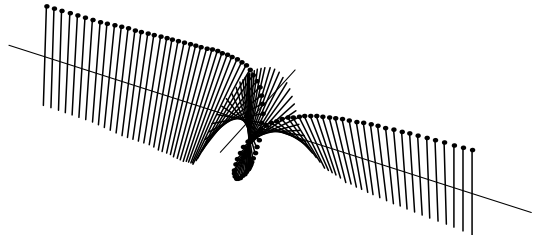


Рис. 1. Зависимость спиновой плотности $\mathbf{n}(\mathbf{r})$ от $\mathbf{r} = (x, 0)$ для скирмиона.

3.2. Электрическое поле

В присутствии статического однородного электрического поля \mathbf{E}_{ext} к гамильтоновой части лагранжиана \mathcal{L}_H добавляется энергия

$$-\int d^2r e \mathbf{E}_{ext} \cdot \mathbf{r} \delta N(\mathbf{r}, t). \quad (18)$$

В уравнениях движения (17) это приводит к появлению в их правой части дополнительного члена

$$\frac{l_H^2}{\hbar} (eE_{ext}^y \partial_x \mathbf{n} - eE_{ext}^x \partial_y \mathbf{n}). \quad (19)$$

Здесь мы вернулись к физическим величинам. Используя подстановку $\mathbf{n}(\mathbf{r}, t) = \mathbf{n}(\mathbf{r} - vt)$, мы приходим к выводу, что в присутствии внешнего электрического поля статическое решение уравнений движения (17) движется как целое с дрейфовой скоростью, задаваемой уравнением

$$\mathbf{E}_{ext} = \frac{1}{c} \mathbf{v} \times \mathbf{B}.$$

4. Тензор момента-импульса

В этом разделе мы получим компоненты тензора энергии-импульса T , которые следуют из эффективного лагранжиана. Для краткости опустим вклад от кулоновского члена, последнего члена в \mathcal{L}_H . Тогда для плотности энергии получим

$$\begin{aligned} T_{00} = & \frac{1}{4} E(0) \times \\ & \times \left\{ \frac{1}{4} \sum_{z=x,y} (\partial_z \mathbf{n})^2 - \mathbf{n} \cdot \partial_x \mathbf{n} \times \partial_y \mathbf{n} - \frac{3}{64} (\Delta \mathbf{n})^2 \right\}. \end{aligned} \quad (20)$$

Отметим, что для нашей нормировки

$$\int \frac{d^2r}{2\pi} T_{00} = \mathcal{L}_H.$$

При этом поток энергии задается как

$$T_{0z} = -\frac{1}{8} E(0) \times \\ \times \{(\partial_t \mathbf{n}) \cdot (\partial_x \mathbf{n}) - 2\epsilon_{\alpha\beta} \mathbf{n} \cdot \partial_t \mathbf{n} \times \partial_\beta \mathbf{n} + O(\partial_t \nabla^3)\}, \quad (21)$$

а плотность импульса есть

$$T_{z0} = \frac{1}{2} (\partial_z \bar{\psi} + \cos \bar{\theta} \partial_z \bar{\phi}). \quad (22)$$

Плотность импульса отличается от потока энергии, так как эффективный лагранжиан имеет первый порядок по производным по времени. При отсутствии инвариантности Лоренца обычная симметрия $T_{0z} = T_{z0}$ не имеет места. Компоненты потока импульса определяются как

$$T_{xx} = -\frac{1}{2} (\partial_t \bar{\psi} + \cos \bar{\theta} \partial_t \bar{\phi}) - \\ - \frac{1}{16} E(0) \{(\partial_x \mathbf{n})^2 - (\partial_y \mathbf{n})^2 + O(\nabla^4)\}, \quad (23)$$

(T_{yy} получается заменой $\partial_x \leftrightarrow \partial_y$) и

$$T_{xy} = T_{yx} = -\frac{1}{8} E(0) \{(\partial_x \mathbf{n})(\partial_y \mathbf{n}) + O(\nabla^4)\}. \quad (24)$$

Бесконечно малое пространственное трансляционное смещение в присутствии статического однородного электрического поля \mathbf{E}_{ext} дает

$$\partial_t T_{z0} + \partial_\beta T_{z\beta} = -2\pi e \mathbf{E}_{ext}^x \delta N. \quad (25)$$

Здесь мы собрали члены, содержащие производную по времени, и опять использовали подстановку $\mathbf{n}(\mathbf{r}, t) = \mathbf{n}(\mathbf{r} - vt)$. Отсюда следует, что члены в T_{z0} и $T_{z\beta}$, содержащие углы Эйлера, комбинируются так, что создают силу Лоренца, и мы придем к тем же выводу и результату, что и для дрейфовой скорости v в предыдущей части.

5. Флуктуации вблизи приближения ХФ

Мы ограничили наше рассмотрение только приближением Хартри–Фока и оставили открытым вопрос о том, при каких условиях это приближение становится приемлемым. Для того чтобы получить качественный ответ, вычислим величину флуктуаций намагниченности

$$\hat{S}^z = \frac{1}{2} \sum_q (\hat{a}_q^\dagger \hat{a}_q - \hat{b}_q^\dagger \hat{b}_q), \quad (26)$$

в состоянии ХФ. Вводя для флуктуации обозначение

$$\delta \hat{S}^z = \hat{S}^z - \langle \Psi_{HF} | \hat{S}^z | \Psi_{HF} \rangle, \quad (27)$$

мы получим прямую оценку ее вероятности, используя то, что в ХФ-приближении A -состояния полностью заполнены, а B -состояния пусты:

$$\langle \Psi_{HF} | (\delta \hat{S}^z)^2 | \Psi_{HF} \rangle = \\ = \frac{1}{8\pi} \int d^2r [n^x(\mathbf{r})^2 + n^y(\mathbf{r})^2 + O(\nabla^4)]. \quad (28)$$

В результате для однородного основного ХФ-состояния $n^z(\mathbf{r}) = 1$ эти флуктуации строго равны нулю. Этого и следовало ожидать, так как однородное состояние является собственным состоянием матрицы \hat{S}^z . С другой стороны, для состояния с одним скирмионом результат лучше всего представляется через число повернутых спинов $\hat{N}_{rev} = \hat{N}/2 - \hat{S}^z$:

$$\langle \Psi_{HF} | \hat{N}_{rev} | \Psi_{HF} \rangle = \frac{1}{4\pi} \int d^2r [1 - n^z(\mathbf{r}) + O(\nabla^4)]. \quad (29)$$

Основной вклад во флуктуацию (28) набирается с больших \mathbf{r} в интеграле, где $n^z \cong 1$:

$$\langle \Psi_{HF} | (\delta \hat{N}_{rev})^2 | \Psi_{HF} \rangle \cong \langle \Psi_{HF} | \hat{N}_{rev} | \Psi_{HF} \rangle. \quad (30)$$

Таким образом, относительная флуктуация обратно пропорциональна корню из числа повернутых спинов. В результате конкуренции между кулоновской и зеемановской энергиами число повернутых спинов растет пропорционально $1/g^{2/3}$ [11] по мере того, как уменьшается g -фактор. Следовательно, относительная флуктуация уменьшается как $g^{1/3}$ с уменьшением g -фактора, это и определяет предел, в котором приближение ХФ становится точным.

6. Выводы

Итак, мы вывели эффективный лагранжиан, описывающий низколежащие возбуждения системы из взаимодействующих 2D-электронов, находящихся в сильном магнитном поле при малом g -факторе для случая, когда фактор заполнения равен единице. В то время как эффективный лагранжиан определяет спин квазичастиц — скирмионов — и описывает их взаимодействие, он не дает конечного результата для массы скирмиона в рамках рассматриваемой модели. Последующая работа покажет, обусловлено ли это проекцией на самый нижний уровень Ландау или приближением Хартри–Фока. Один из авторов (Ю.А.Б.) благодарен Физико-техническому федеральному учреждению за гостеприимство и за финансовую поддержку, Американскому фонду гражданских исследований и развития (грант RP1-273) и Российскому фонду фундаментальных исследований (грант 97-02-16042).

Список литературы

- MacDonald A H *Solid State Commun.* **102** 143 (1997)
- Бычков Ю А, Иорданский С В, Элиашберг Г М *Письма в ЖЭТФ* **33** 152 (1981) [*JETP Lett.* **33** 143 (1981)]
- Kallin C, Halperin B I *Phys. Rev. B* **30** 5655 (1984)
- Nicholas R J et al. *Phys. Rev. B* **37** 1294 (1988)
- Usher A et al. *Phys. Rev. B* **41** 1129 (1990)
- Maude D K et al. *Phys. Rev. Lett.* **77** 4604 (1996)
- Aifer E H, Goldberg B B, Broido D A *Phys. Rev. Lett.* **76** 680 (1996)
- Schmeller A et al. *Phys. Rev. Lett.* **75** 4290 (1995)
- Barrett S E et al. *Phys. Rev. Lett.* **74** 5112 (1995)
- Беляев А А, Поляков А М *Письма в ЖЭТФ* **22** 245 (1975)
- Sondhi S L et al. *Phys. Rev. B* **47** 16419 (1993)
- Fertig H A et al. *Phys. Rev. B* **50** 11018 (1994)
- Apel W, Bychkov Yu A *Phys. Rev. Lett.* **78** 2188 (1997)
- Bychkov Yu A, Maniv T, Wagner I D *Phys. Rev. B* **53** 10148 (1996)
- Wilczek F, Zee A *Phys. Rev. Lett.* **51** 2250 (1983)
- Rajaraman R *Solitons and Instantons* (Amsterdam: North-Holland, 1989)